

الله اعلم



دانشگاه الزهرا(س)

دانشکده علوم پایه

پایان نامه

جهت اخذ درجه کارشناسی ارشد

رشته شیمی فیزیک

عنوان

کاربرد یک تابع پتانسیل دوبعدی در محاسبه فرکانس تونل زنی تروپولون

استادان راهنما

سرکار خانم دکتر منصوره زاهدی تبریزی

جناب اقای دکتر سید فرامرز طیاری

دانشجو

مصطفی رسولی

۱۳۹۰ بهمن

کلیه دستاوردهای ناشی از اثر فوق متعلق به
دانشگاه الزهراء (س) است.

تَهْدِيمْ بِهِ
خَدَائِي كَمْ آفَرِيد

جهان را، انسان را، عقل را، علم را، معرفت را، عشق را
و به کسانی که عششان را در وجودم دید

تَهْدِيمْ بِهِ رُوحْ پاکْ پدرِم
که جلوه های راستین انسانیت را در وجودم پوراند

و به مادرِم
دریایی بی کران فداکاری و عشق که وجودم برایش همه نج بوده
و وجودش برایم همه هر

به مصدقه "من لم يشكرا لخليق لم يشكرا لخلق" بسي ثانية است از استاد ارجمند سرکار خانم دکتر مصورة زاهمي تبريزی که با کرامتی چون خورشید، سرزمین دل را روشنی بخشیدند و گلشن سرای علم و دانش را با راهنمایی های کارساز و سازنده بارور ساختند، تقدیر و مشکر نایم.

چکیده

در این پروژه، روشی ساده و عملی جهت تعیین فرکانس تونل زنی تروپولون معرفی شده است. بدین منظور، سطح انرژی پتانسیل دو بعدی ای که شیوه کششی و خمشی درون صفحه ای OH را جفت می کند، برای ساختار هندسی ثابت در سطوح پایه $MP2/6-31G^{**}$ ، $B3LYP/6-31G^*$ ، $B3LYP/6-31G^{**}$ ، $B3LYP/6-311G^{**}$ و $G96LYP/6-31G^*$ محاسبه شده است.

جهت محاسبه شکاف تونل زنی و فرکانس های کششی و خمشی درون صفحه ای OH ، توابع پتانسیل حاصل در یک پتانسیل دو مینیممی و دو بعدی گنجانیده شده است و سپس ماتریکس هامیلتونی حاصل قطری شده است.

شکاف تونل زنی $cm^{-1/2}$ و $cm^{-1/1}$ به ترتیب برای گونه های نرمال و دوتره ترکیب تروپولون به دست آمده است که در توافق عالی با مقادیر تئوری $cm^{-1/9}$ و $cm^{-1/1}$ است.

کلمات کلیدی: تروپولون، سطح انرژی پتانسیل، تابع پتانسیل دو بعدی دومینیممی، فرکانس تونل زنی، شیوه کششی OH ، شیوه خمشی درون صفحه ای OH .

فهرست مطالب

فصل اول : تابع پتانسیل

۱-۱	سطح انرژی پتانسیل	۲
۲-۱	توابع پتانسیل پیوند هیدروژنی	۴
۳-۱	انواع توابع پتانسیل پیوند هیدروژنی	۶
۱-۳-۱	تابع پتانسیل تک کمینه ای نامتقارن	۷
۲-۳-۱	تابع پتانسیل دو کمینه ای نامتقارن	۷
۳-۳-۱	تابع پتانسیل دو کمینه ای متقارن	۸
۴-۳-۱	تابع پتانسیل تک کمینه ای متقارن	۸
۴-۱	تابع پتانسیل یک بعدی	۹
۵-۱	پتانسیل های مستقل از زمان و یک بعدی	۱۰
۱-۵-۱	پتانسیل صفر	۱۰
۲-۵-۱	پتانسیل پله ای	۱۱
۳-۵-۱	پتانسیل پله ای (انرژی ذره کم تر از ارتفاع پله)	۱۲
۴-۵-۱	پتانسیل پله ای (انرژی ذره بیش تر از ارتفاع پله)	۱۳
۵-۵-۱	سد پتانسیل	۱۴
۶-۵-۱	چاه پتانسیل مربعی متناهی	۱۵
۷-۵-۱	چاه پتانسیل مربعی بی نهایت	۱۷
۶-۱	ایجاد سطح انرژی پتانسیل چند بعدی با تکنیک تحریف مختصات قطبی	۲۰

۲۱	بررسی کوانتوم دینامیکی چند بعدی خودکار پتانسیل های دو مینیممی ۷-۱
۲۱	پتانسیل بر جسته مدل هوبارد ۸-۱
۲۲	پتانسیل با تابع دلتای مضاعف و دومركزی در يك بعد ۹-۱
۲۳	پدیده تونل زنی ۱۰-۱

فصل دوم : محاسبات نظری

۲۸	روش های نیمه تجربی ۱-۲
۳۰	۱-۱-۲ پارامتری کردن
۳۲	۲-۱-۲ محدودیت ها و مزایای روش های نیمه تجربی
۳۵	۲-۲ روشن های آغازین
۳۸	۱-۲-۲ نظریه میدان خودسازگار
۴۰	۲-۲-۲ روشن هارتی فاک
۴۲	۳-۲-۲ هارتی فاک محلود شده و محدود نشده
۴۴	۴-۲-۲ تئوری اختلال
۴۷	۵-۲-۲ نظریه تابعی چگال
۵۳	۱-۵-۲-۲ روشن های هیبریدی
۵۴	۶-۲-۲ توابع پایه
۵۵	۱-۶-۲-۲ اوربیتال های نوع اسلیتر
۵۵	۲-۶-۲-۲ توابع نوع گاوی
۵۶	۳-۶-۲-۲ مزیت تابع گاوی
۵۶	۴-۶-۲-۲ ضعف اصلی تابع گاوی

۵۷.....	۵-۶-۲-۲ مجموعه پایه
۵۸.....	۶-۶-۲-۲ منابع مجموعه پایه
۵۸.....	۷-۶-۲-۲ مجموعه پایه قطبیده
۵۹.....	۸-۶-۲-۲ توابع پخشیده

فصل سوم : تروپولون

۶۲.....	تروپولون ۱-۳
۶۳.....	کاربردهای تروپولون و مشتقاتش ۲-۳
۶۵.....	پیوند هیدروژنی در انولون ها ۳-۳
۶۵.....	پیوند هیدروژنی و پدیده تونل زنی در تروپولون ۴-۳
۶۶.....	طیف IR تروپولون ۵-۳
۶۷.....	عوامل مؤثر در تونل زنی تروپولون ۶-۳
۷۲.....	نمونه ای از هامیلتونی مطالعه شده در سیستم تروپولون ۷-۳
۷۳.....	توصیف آدیباتیک پدیده تونل زنی در تروپولون ۸-۳
۷۴.....	بررسی شیوه های ارتعاشی در تونل زنی تروپولون ۹-۳
۷۵.....	تأثیر برانگیختگی ارتعاشی بر تونل زنی تروپولون ۱۰-۳
۷۶.....	بررسی نیمه کلاسیکی تونل زنی در تروپولون ۱۱-۳
۸۱.....	تجزیه دانسیته انرژی در تروپولون ۱۲-۳
۸۲.....	مطالعه تونل زنی در تروپولون توسط تکنیک اختلاط چهارموجی ۱۳-۳
۸۴.....	کاربرد شکل مستقل از زمان در بررسی تونل زنی تروپولون ۱۴-۳
۸۵.....	مطالعه تونل زنی در تروپولون توسط تکنیک های نشر القایی ۱۵-۳

فصل چهارم : بحث و نتیجه گیری

۸۹.....	۱-۴ پیوندهای هیدرروژنی خمیده	۱-۴
۹۰.....	۲-۴ روش های مطالعه انتقال پروتون درسیستم های دارای پیوند هیدرروژنی	۲-۴
۹۱.....	۳-۴ مطالعات تئوری انجام شده جهت بررسی دینامیک تونل زنی تروپولون	۳-۴
۹۳.....	۴-۴ بخش محاسباتی	۴-۴
۱۰۵.....	۱-۴-۴ هامیلتونی	۱-۴-۴
۱۰۶.....	۲-۴-۴ تست همگرایی	۲-۴-۴
۱۰۷.....	۱-۱-۴ مقادیر ثابت های نیرو	۱-۱-۴
۱۰۸.....	۲-۱-۴-۴ مبدأ بسط	۲-۱-۴-۴
۱۰۹.....	۳-۱-۴-۴ اندازه بسط	۳-۱-۴-۴
۱۱۰.....	۴-۳-۴ محاسبه اثرات Y_{min} و k_b روی فرکانس های انتقالی پیوند هیدرروژنی	۴-۳-۴
۱۱۱.....	۵-۴ بحث و نتیجه گیری	۵-۴
۱۱۲.....	۱-۵-۴ سطوح انرژی پتانسیل تروپولون	۱-۵-۴
۱۱۳.....	۲-۵-۴ اثر Y_{min} روی فرکانس های انتقالی پیوند هیدرروژنی	۲-۵-۴
۱۱۴.....	۳-۵-۴ اثر K_b روی فرکانس های انتقالی	۳-۵-۴

فهرست جداول

فصل چهارم: بحث و نتیجه گیری

جدول (۴-۱) مقایسه پارامترهای مختلف در سطوح محاسباتی متفاوت برای سیستم تروپولون ۹۶
جدول (۴-۲) محاسبه ثابت های نیرو برای برش های مختلف تابع پتانسیل در سیستم تروپولون در سطح پایه ۹۷ <i>B3LYP/6-311G**</i>
جدول (۴-۳) محاسبه ثابت های نیرو برای برش های مختلف تابع پتانسیل در سیستم تروپولون در سطح پایه ۹۸ <i>MP2/6-31G**</i>
جدول (۴-۴) محاسبه ثابت های نیرو برای برش های مختلف تابع پتانسیل در سیستم تروپولون در سطح پایه ۹۹ <i>G96LYP/6-31G*</i>
جدول (۴-۵) محاسبه ثابت های نیرو برای برش های مختلف تابع پتانسیل در سیستم تروپولون در سطح پایه ۱۰۰ <i>B3LYP/6-31G**</i>
جدول (۴-۶) محاسبه ثابت های نیرو برای برش های مختلف تابع پتانسیل در سیستم تروپولون در سطح پایه ۱۰۱ <i>B3LYP/6-31G*</i>
جدول (۴-۷) مقایسه اختلاف انرژیهای حالت گذار و حالت پایه با ارتفاع سد برای سیستم تروپولون در سطوح محاسباتی مختلف ۱۰۲
جدول (۸-۴) اثر اندازه‌ی ماتریکس بر روی فرکانس‌های انتقالی سیستم تروپولون (بر حسب cm^{-1}) در سطح پایه ۱۰۸ <i>B3LYP/6-311G**</i>

جدول (۹-۴) فرکانس های انتقالی محاسبه شده بر حسب cm^{-1} در سطح پایه $B3LYP/6-311G^{**}$ برای چند

برش پتانسیل سیستم تروپولون ۱۱۱

جدول (۱۰-۴) فرکانس های انتقالی محاسبه شده بر حسب cm^{-1} در سطح پایه $MP2/6-31G^{**}$ برای چند برش

پتانسیل سیستم تروپولون ۱۱۲

جدول (۱۱-۴) فرکانس های انتقالی محاسبه شده بر حسب cm^{-1} در سطح پایه $G96LYP/6-31G^*$ برای چند

برش پتانسیل سیستم تروپولون ۱۱۳

جدول (۱۲-۴) فرکانس های انتقالی محاسبه شده بر حسب cm^{-1} در سطح پایه $B3LYP/6-31G^{**}$ برای چند

برش پتانسیل سیستم تروپولون ۱۱۴

جدول (۱۳-۴) فرکانس های انتقالی محاسبه شده بر حسب cm^{-1} در سطح پایه $B3LYP/6-31G^*$ برای چند برش

پتانسیل سیستم تروپولون ۱۱۵

فهرست شکل ها

فصل اول: تابع پتانسیل

۳.....	شکل (۱-۱) نمایش سه بعدی حالت گذار
۶	شکل (۲-۱) تابع پتانسیل پیوند هیدروژنی
7.....	شکل (۳-۱) نمایش تغییرات توابع پتانسیل و ترازهای انرژی از تک کمینه ای نامتقارن تا دو کمینه ای متقاضان
9.....	شکل (۴-۱) نمایش تغییرات توابع پتانسیل و ترازهای انرژی از دو کمینه ای متقاضان تا تک کمینه ای متقاضان
۱۲.....	شکل (۵-۱) نمودار پتانسیل پله ای
۱۳.....	شکل (۶-۱) نمودار پتانسیل پله ای (انرژی ذره کمتر از ارتفاع پله)
۱۴.....	شکل (۷-۱) نمودار پتانسیل پله ای (انرژی ذره بیشتر از ارتفاع پله)
۱۷.....	شکل (۸-۱) چاه پتانسیل مربعی متناهی
۱۷.....	شکل (۹-۱) ویژه مقدارهای ذره در چاه پتانسیل مربعی
۱۷.....	شکل (۱۰-۱) ویژه حالت های ذره در چاه پتانسیل مربعی
۱۹.....	شکل (۱۱-۱) چاه پتانسیل مربعی بی نهایت
۱۹.....	شکل (۱۲-۱) ویژه مقدارهای ذره در چاه مربعی بی نهایت
۱۹.....	شکل (۱۳-۱) ویژه حالت های ذره در چاه مربعی بی نهایت
۲۰.....	شکل (۱۴-۱) نقاط نمونه بر روی سطح کروی در تکنیک تحریف مختصات قطبی
۲۳.....	شکل (۱۵-۱) انرژی پتانسیل در مورد یک ذره در جعبه ای به ارتفاع و ضخامت محدود

شکل (۱-۱) منحنی انرژی پتانسیل ارتعاش وارونگی آمونیاک..... ۲۵

فصل سوم: تروپولون

شکل (۱-۳) ترکیب تروپولون ۶۲

شکل (۲-۳) ساختار و دینامیک تاتومرها و حالت گذار تروپولون ۶۶

شکل (۳-۳) وابستگی تابع انرژی پتانسیل کشش OH به هندسه ای مولکول تروپولون ۶۶

شکل (۴-۳) طیف IR مربوط به $TRN(OD)$ و $TRN(OH)$ در ناحیه cm^{-1} ۳۱۰۰

شکل (۵-۳) نمای پتانسیل تونل زنی تروپولون و انتقالات الکترونی ممکن از سطوح ارتعاشی در فرآیند $REMPI$ ۷۹

شکل (۶-۳) مختصات تونل زنی دو بعدی $T-\tau$ تروپولون ۷۱

شکل (۷-۳) ساختار و شماره ای اتم های به کار رفته ای تروپولون در بررسی نیمه کلاسیکی یین گو و همکارانش ۷۷

شکل (۸-۳) دو اثر $TC-RFWM$ ثبت شده برای تروپولون ۸۷

فصل چهارم: بحث و نتیجه گیری

شکل (۱-۴) پیوند هیدروژنی خمیده در دی کربونیل ها ۸۹

شکل (۲-۴) نمایش ترکیب تروپولون در حالت C_{2v} (حالت گذار) ۱۰۲

شکل (۳-۴) (الف) سطح انرژی پتانسیل، (ب) کانتور و (ج) سطح انرژی پتانسیل به همراه کانتور برای سیستم

تروپولون در سطح پایه * $B3LYP/6-311G^{**}$ ۱۰۳

شکل (۴-۴) (الف) سطح انرژی پتانسیل، (ب) کانتور و (ج) سطح انرژی پتانسیل به همراه کانتور برای سیستم

تروپولون در سطح پایه * $MP2/6-31G^{**}$ ۱۰۴

- شکل (۴-۵) اثر Y_{min} (مکان نقطه‌ی زینی) روی فرکانس انتقالی نسبت به m (نقطه‌ی میانی بین دو کمینه) ۱۱۷
- شکل (۴-۶) نقشه‌های کانتوری انرژی پتانسیل برای مقادیر متفاوت Y_{min} ۱۱۸
- شکل (۴-۷) اثر K_b روی فرکانس‌های انتقالی ۱۲۰
- شکل (۴-۸) نقشه‌های کانتوری انرژی پتانسیل برای مقادیر متفاوت K_b ۱۲۱

فصل اول

تابع پتانسیل

۱-۱ سطح انرژی پتانسیل (PES)^۱

از آن جا که نظریه سیتیک شیمیایی برخورد کره سخت، ثابت های سرعت را به طور دقیق به دست نمی دهد، تصحیح این نظریه باید از طریق به کار گیری نیروهای بین مولکولی واقعی مولکول های واکنشگر و به حساب آوردن ساختار درونی مولکول ها، ارتعاشات و چرخشهای آن ها صورت گیرد.

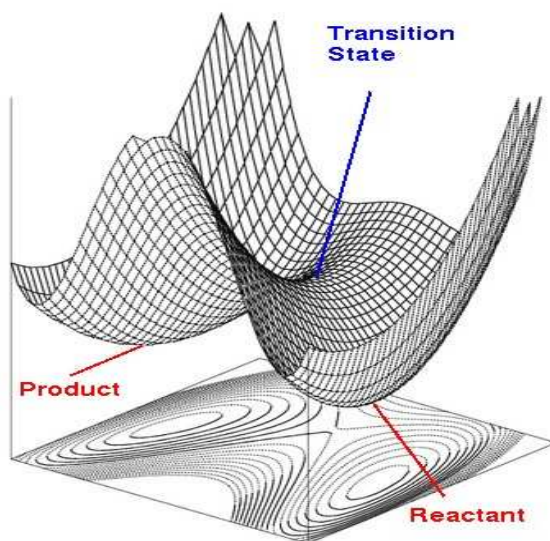
در واکنش های شیمیایی، برخی پیوندها تشکیل و برخی شکسته می شوند، به طوری که باید نیروهای عمل کننده بر روی اتم ها در مولکول را در نظر گرفت. در طول برخورد مولکولی، نیروی وارد شونده بر روی یک اتم بستگی به نیروهای درون مولکولی (که حرکت ارتعاشی در مولکول را تعیین می کنند) و نیروهای میان مولکولی دارد.

از آن جا که نمی توان به طور جداگانه مولکول های برخورد کننده را مورد بررسی قرار داد، دو مولکول را که تشکیل یک واحد کوانتومکانیکی انفرادی می دهند در نظر می گیرند و به آن ابر مولکول می گویند. ابر مولکول یک مولکول دائمی یا پایدار نیست، این مولکول فقط در طول فرآیند برخورد وجود دارد.

برای ابر مولکولی با N اتم، $3N$ مختصه هسته ای وجود دارد. از آن جا که انرژی پتانسیل مستقل از سه مختصه ای انتقالی (برای حرکت مرکز جرم) و دو یا سه مختصه چرخشی (برای چرخش حول مرکز جرم) به ترتیب برای مولکول های خطی و غیر خطی می باشد، لذا انرژی پتانسیل تابعی از $5 - 3N$ متغیر برای مولکول های خطی و $6 - 3N$ متغیر برای مولکول های

۱. *potential energy surface*

غیرخطی است. این انرژی پتانسیل، در تقریب بورن - اپنهایمر^۱ (جدا کردن حرکت های الکترونی از هسته ای)، انرژی الکترونی است که از حل معادله شرو دینگر الکترونی به دست می آید.



شکل(۱-۱) نمایش سه بعدی حالت گذار

بنابراین معادله شرو دینگر الکترونی را برای یک آرایش هسته ای ثابت حل نموده و با تغییر آرایش هسته ای، انرژی پتانسیل را به صورت تابعی از مختصات هسته ای به دست می آوریم. بر روی سطح انرژی پتانسیل، مسیر انرژی مینیممی را که واکنشگر را به محصولات مرتبط می سازد، مسیر انرژی پتانسیل گویند. روی این مسیر نقطه ماکزیممی وجود دارد که به آن نقطه زینی می گویند چون سطح اطراف آن شبیه یک زین است (شکل (۱-۱)).

۱. Born-Oppenheimer approximation

نقطه زینی، یک نقطه ایستا روی سطح پتانسیل است و در این نقطه مشتق انرژی پتانسیل نسبت به مختصات دکارتی برابر صفر ($\partial V / \partial q_i = 0$) و مشتق دوم کوچک‌تر از صفر است ($\partial^2 V / \partial q^2 < 0$). از آنجا که مشتق دوم برابر با ثابت نیرو (k) است و فرکانس (ω) با ریشه دوم ثابت نیرو متناسب است، فرکانس یکی از $6 - 3N$ -شیوه‌های عادی ارتعاش ابر مولکول در نقطه زینی موهمی است.

این فرکانس با حرکت بسیار کوچک در طول مسیر واکنش (ماکزیمم انرژی) مطابقت دارد و $7 - 3N$ -فرکانس باقی مانده که حرکت ارتعاشی هماهنگ ابر مولکول را مشخص می‌کنند و عمود بر مسیر واکنش هستند، حقیقی اند زیرا در مینیمم انرژی، مشتق انرژی پتانسیل نسبت به مختصات دکارتی برابر صفر ($\partial V / \partial q_i = 0$) و مشتق دوم بزرگ‌تر از صفر ($\partial^2 V / \partial q^2 > 0$) قرار گرفته، در نتیجه ثابت‌های نیروی آن‌ها مثبت و فرکانس‌ها حقیقی هستند.

۲-۱ توابع پتانسیل پیوند هیدروژنی

اسپکتروسکوپی IR ، یک بینش از سطح انرژی پتانسیل پیوندهای هیدروژنی فراهم می‌کند. در پیوند ساده $A-H$ نوسان پروتون تا حدی از تابع پتانسیل هماهنگ پیروی می‌کند اما به دلیل تقریبی بودن این تابع از تابع پتانسیل مورس^۱ استفاده می‌شود. هنگامی که یک پیوند $A-H$ در پیوند هیدروژنی در گیر می‌شود منحنی انرژی پتانسیل پهن می‌شود و یک نقطه مینیمم دومی به وجود می‌آید و سطوح ارتعاشات کششی به هم نزدیک‌تر می‌شود. در واقع گروه B که در مجاورت پیوند $A-H$ پیوند هیدروژنی تشکیل داده

۱. *Morse function*